

Э. Лукевич, И. Шестакова, И. Домрачева, А. Нестерова,
Я. Ашакс^a, Д. Зарума^a

**СИНТЕЗ КОМПЛЕКСНЫХ СОЕДИНЕНИЙ
МЕТИЛЬНЫХ ПРОИЗВОДНЫХ 8-ХИНОЛИНСЕЛЕНОЛА
С МЕТАЛЛАМИ И ИХ ЦИТОТОКСИЧЕСКАЯ АКТИВНОСТЬ**

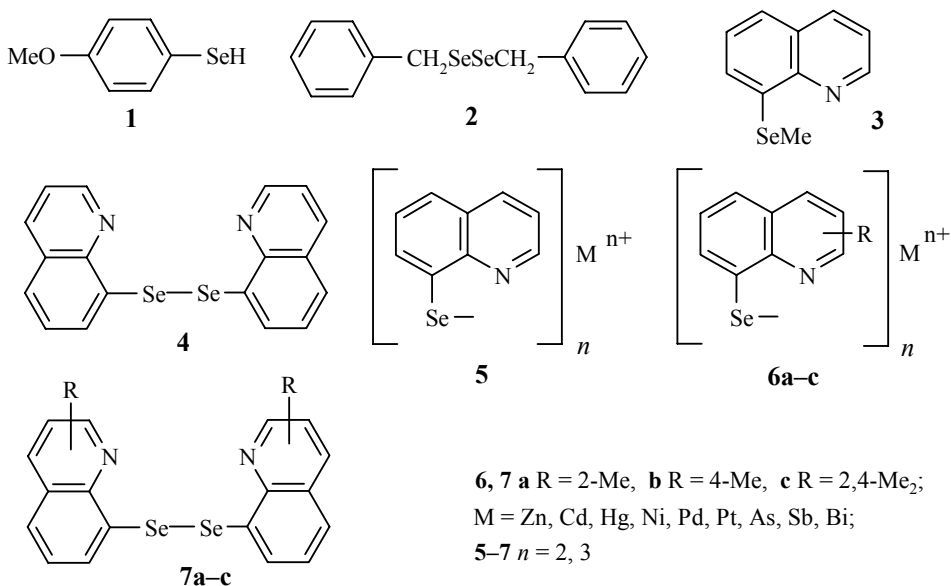
Синтезирован ряд 2-метил-, 4-метил- и 2,4-диметил-8-хинолинсelenолатов цинка, кадмия, ртути, никеля, палладия, платины, мышьяка, сурьмы и висмута и изучена их цитотоксичность на опухолевых клетках НТ-1080 (фиброзаркома человека), MG-22A (гепатома мыши), B16 (меланома мыши) и Neuro 2A (нейробластома мыши). Высокой цитотоксичностью на всех линиях клеток отличаются комплексы ртути. Несколько меньшей активностью обладают комплексы палладия, которые значительно менее токсичны по отношению к нормальным фибробластам мышьиных эмбрионов NIH 3T3. Все изученные 2-метил-8-хинолинсelenолаты металлов проявляют высокую цитотоксичность на меланоме B16, 4-метил-8-хинолинсelenолат мышьяка наиболее эффективно действует на клетки НТ-1080 и MG-22A. Высокой цитотоксичностью на эти же клетки обладает и ди(4-метил-8-хинолил)диселенид.

Ключевые слова: метил-8-хинолинсelenолаты металлов, цитотоксичность.

Органические и неорганические производные селена эффективно ингибируют рост ряда опухолей [1–19]. Один из механизмов, предложенных для объяснения этого действия, основывается на цитотоксическом действии селена на опухолевые клетки [17–19].

Первым сelenоорганическим соединением, ингибирующим развитие различных опухолей, был *n*-метоксибензолсelenол (1) [20–22]. Хемопревентивные свойства на модели опухоли толстой кишки крыс, вызванной азоксиметаном, проявил дифензилдиселенид (2) [23, 24]. Нами показано, что слабым цитотоксическим действием обладает 8-метил-сelenохинолин (3). Значительно активнее по отношению к клеткам фиброзаркомы человека НТ-1080 ди(8-хинолил)диселенид (4). Высокой цитотоксичностью обладают 8-хинолинсelenолаты металлов (5), особенно комплексы ртути, кадмия и галлия, а также производные мышьяка [25].

Для выяснения влияния природы лиганда и металла на цитотоксичность сelenоорганических соединений взаимодействием соответствующего сelenола с солями металлов нами синтезирован ряд комплексов 6 2-метил-, 4-метил- и 2,4-диметил-8-хинолинсelenола с металлами и изучена их цитотоксичность (табл. 1–3) на 4 линиях опухолевых клеток: НТ-1080 (фиброзаркома человека), MG-22A (гепатома мыши), B16 (меланома мыши) и Neuro 2A (нейробластома мыши). Отдельно определялась цитотоксичность соответствующих ди(8-хинолил)диселенидов 7 (табл. 4).



Результаты исследования показали, что цитотоксическая активность 8-хинолинсelenолатов металлов зависит от природы лиганда и металла, в ряде случаев проявляется селективность по отношению к определенной линии клеток, а также по характеру действия (действие на клеточные мембранны – CV тест; влияние на активность митохондриальных ферментов в клетке – MTT тест).

По отношению к клеткам фибросаркомы человека HT-1080 в ряду производных 2-метил-8-хинолинсelenола **6a** наибольшую цитотоксичность (по тестам CV и MTT) проявил комплекс кадмия(II). Несколько менее активным оказался комплекс ртути(II), но оба они высокотоксичны по отношению к нормальным фибробластам почек золотистого хомяка BHK 21 и токсичны для нормальных фибробластов мышиных эмбрионов NIH 3T3. Из металлов 12-й группы наиболее активным явился комплекс палладия(II). Комpleксы элементов 15-й группы большую активность проявили в teste MTT, в зависимости от элемента она уменьшалась в ряду As > Bi > Sb. Их 4-метил-8-хинолилпроизводные **6b** в обоих тестах оказались значительно более активными, чем соответствующие 2-метил-производные **6a**. Комплексы металлов 10-й и 12-й групп с этим же лигандом менее активны, чем 2-метилпроизводные. В ряду 2,4-диметилпроизводных **6c** наблюдалась близкая зависимость активности от природы металла: Hg > Cd > Zn; As ≈ Bi > Sb; Pd > Pt > Ni. При этом наиболее активным из всех комплексов металлов с этим лигандом оказался 2,4-диметил-8-хинолинсelenолат палладия(II). Этот комплекс, как и комплекс платины, был менее токсичным по отношению к нормальным клеткам NIH 3T3.

По отношению к клеткам мышиной гепатомы MG-22A из производных 2-метил-8-хинолинсelenола **6a** наибольшую активность проявил комплекс ртути(II). В ряду элементов 15-й группы последовательность уменьшения цитотоксичности такая же, как и в случае клеток HT-1080, т. е. As > Bi > Sb.

При этом 4-метилпроизводные оказались более активными, чем 2-метил- и 2,4-диметилпроизводные. В отличие от 2-метилпроизводных комплекс сурьмы(III), содержащий 4-метильную группу в хинолиновом кольце, проявил большую цитотоксичность, чем соответствующие производные висмута(III). Комплекс палладия(II) с 4-метил-8-хинолинселенолом более активен, чем селенолат платины(II) и, обладая хорошей активностью, значительно менее токсичен по отношению к нормальным клеткам NIH 3T3. 2,4-Диметилпроизводные в большинстве случаев обладают меньшей цитотоксичностью, чем соответствующие 2- и 4-метилпроизводные. Исключение составляют комплексы кадмия(II) по CV тесту и комплекс платины по MTT тесту. Соединения цинка(II) и никеля(II) в своих группах элементов, как и в случае 2-метилпроизводных, являются наименее активными.

Все изученные комплексы 2-метил-8-хинолинселенола высокоактивны по отношению к меланому B16, особенно производные металлов 12-й группы и висмута(III), но они токсичны и по отношению к нормальным клеткам BHK 21 и NIH 3T3.

Комплекс ртути(II) обладает чрезвычайно высокой активностью по отношению к клеткам мышиной нейробластомы Neuro 2A. Высокую цитотоксичность к этим клеткам проявляют и остальные комплексы. Их активность в группах элементов уменьшается в рядах Hg > Cd > Zn; Pd > Pt > Ni и As > Sb > Bi.

Из полученных данных следует, что наибольшую цитотоксичность к клеткам HT-1080 проявляют комплексы мышьяка(III), сурьмы(III) и висмута(III) 4-метил-8-хинолинселенола, а также комплексы кадмия(II) и ртути(II) его 2-метилизомера; к клеткам MG-22A – соединения мышьяка(III) с 4-метильной группой, ртути(II) с 2-метильной группой и кадмия(II) 2,4-диметилзамещенного 8-хинолинселенола; к клеткам B16 и Neuro 2A – 2-метил-8-хинолинселенолат ртути(II), а также кадмия(II) и цинка(II). Все эти соединения, проявляющие высокую активность к опухолевым клеткам, являются токсичными и к нормальным клеткам BHK-21 и NIH 3T3.

Более обнадеживающими в этом плане выглядят комплексы палладия(II), которые обладают достаточно высокой цитотоксичностью к опухолевым клеткам и являются менее токсичными по отношению к нормальным клеткам, особенно 2,4-диметилпроизводные. Они проявляют некоторую селективность по отношению к различным типам клеток. Для 2-метилпроизводных цитотоксичность уменьшается в ряду Neuro 2A > HT-1080 > B16 > MG-22A, для 2,4-диметилзамещенных – HT-1080 > B16 > Neuro 2A > MG-22A, а токсичность к нормальным клеткам NIH 3T3 – 2-Me > 4-Me > 2,4-Me₂.

Для сравнения изучалась цитотоксичность соответствующих дихинилдиселенидов 7. По отношению к клеткам HT-1080 и MG-22A наиболее активным оказалось 4-метилпроизводное 7b (активнее незамещенного диселенида [25]), тогда как 2,4-диметилпроизводное 7c цитотоксичностью не обладало.

Таблица 1

Цитотоксичность IC₅₀(мкг/мл) 2-метил-8-хинолинселенолатов 6*

M	n	HT-1080		MG-22A		B16		Neuro2A		BHK 21		3T3
		CV	MTT	CV	MTT	CV	MTT	CV	MTT	CV	MTT	NR
Zn	2	35	54	19	28	1>>	0.5	1	0.5	**	**	**
Cd	2	0.24	0.15	3	2.5	0.27	0.25	0.38	0.25	0.3	0.28	1
Hg	2	0.3	0.3	0.25	0.19	1>>	1>>	0.0007	0.003	0.006	0.003	1.2
Ni	2	10	***	5	19	2	2	2	1	**	**	**
Pd	2	1.7	1.5	3	3	2.2	1.6	0.5	0.25	0.3	0.24	2.7
Pt	2	10	22	1	2	2	2	1.6	1	**	**	**
As	3	10	0.5	3	1.2	2	1	1.5	1.8	1.5	3.2	15
Sb	3	17	14	26	33	2.7	2.3	2.4	1.4	**	**	**
Bi	3	4	0.85	3	3	1>>	1>>	5	6	3	3	3

* CV – кристаллфиолетовый; МТТ – бромид 3-(4,5-диметилтиазол-2-ил)-2,5-дифенил-2Н-тетразолия; NR – нейтральный красный.

** Не тестировался.

*** Цитотоксический эффект отсутствует.

Т а б л и ц а 2

Цитотоксичность (IC_{50} , мкг/мл) 4-метил-8-хинолинселенолатов 6b

M	n	HT-1080		MG-22A		3H3	
		CV	MTT	CV	MTT	NR	LD ₅₀ , мг/кг
Cd	2	2.8	1.8	2.1	0.5	3	340
Hg	2	2.8	1.5	3	1	4	257
Pd	2	3	2.7	3	2.6	14	494
Pt	2	38	48	60	87	432	2230
As	3	0.4	1>>	1>>	1>>	3	295
Sb	3	0.5	1>>	0.2	2.2	5	392
Bi	3	3	1>>	2.4	2	5	349

Т а б л и ц а 3

Цитотоксичность (IC_{50} , мкг/мл) 2,4-диметил-8-хинолинселенолатов 6c

M	n	HT-1080		MG-22A		3H3	
		CV	MTT	CV	MTT	NR	LD ₅₀ , мг/кг
Zn	2	13	20	24	25	5.5	310
Cd	2	3.5	3	0.3	1.5	2.8	239
Hg	2	2.7	0.4	6.4	9.8	3.8	295
Ni	2	22	16	16	21	5.4	302
Pd	2	0.4	1.1	11.4	10	26.3	634
Pt	2	1.5	3	2.8	0.5	14	525
As	3	2.6	2.8	2.8	2.5	2	207
Sb	3	12.6	18	20	27	24	621
Bi	3	2.6	2.7	14	17.5	10.6	469

Т а б л и ц а 4

Цитотоксичность (IC_{50} , мкг/мл) ди(8-хинолил)диселенидов 7

Соединение	R	HT-1080		MG-22A	
		CV	MTT	CV	MTT
[25]	H	0.8	2	3	2
7a	2-Me	6	18	38	10
7b	4-Me	0.6	0.8	1.4	2.7
7c	2,4-Me ₂	*	*	*	*

* Цитотоксический эффект отсутствует.

Т а б л и ц а 5

Результаты элементного анализа и выход 2-метил-8-хинолинсelenолатов 6а

M	n	<u>Найдено, %</u> Вычислено, %			Выход, %
		C	H	N	
Zn	2	<u>47.83</u> 47.32	<u>3.05</u> 3.18	<u>5.37</u> 5.52	82
Cd	2	<u>42.87</u> 43.31	<u>3.05</u> 2.91	<u>4.93</u> 5.05	93
Hg	2	<u>37.15</u> 37.37	<u>2.42</u> 2.51	<u>4.53</u> 4.36	85
Ni	2	<u>48.31</u> 47.95	<u>3.08</u> 3.22	<u>5.68</u> 5.59	80
Pd	2	<u>43.65</u> 43.78	<u>3.13</u> 2.94	<u>5.20</u> 5.11	87
Pt	2	<u>38.03</u> 37.69	<u>2.49</u> 2.53	<u>4.12</u> 4.39	92
As	3	<u>48.32</u> 48.80	<u>3.35</u> 3.28	<u>5.78</u> 5.69	75
Sb	3	<u>46.17</u> 45.89	<u>3.18</u> 3.08	<u>5.16</u> 5.35	84
Bi	3	<u>41.06</u> 41.30	<u>2.67</u> 2.77	<u>4.93</u> 4.82	91

Т а б л и ц а 6

Результаты элементного анализа и выход 4-метил-8-хинолинсelenолатов 6б

M	n	<u>Найдено, %</u> Вычислено, %			Выход, %
		C	H	N	
Cd	2	<u>43.12</u> 43.31	<u>2.83</u> 2.91	<u>5.16</u> 5.05	91
Hg	2	<u>37.45</u> 37.37	<u>2.63</u> 2.51	<u>4.47</u> 4.36	87
Pd	2	<u>44.12</u> 43.78	<u>3.18</u> 2.94	<u>4.90</u> 5.11	86
Pt	2	<u>37.82</u> 37.69	<u>2.63</u> 2.53	<u>4.45</u> 4.39	88
As	3	<u>49.10</u> 48.80	<u>3.17</u> 3.28	<u>5.51</u> 5.69	79
Sb	3	<u>45.98</u> 46.17	<u>3.04</u> 3.08	<u>5.07</u> 5.35	80
Bi	3	<u>41.13</u> 41.30	<u>2.60</u> 2.77	<u>5.11</u> 4.82	93

Т а б л и ц а 7

Результаты элементного анализа и выход 2,4-диметил-8-хинолинселенолатов 6с

M	n	<u>Найдено, %</u> Вычислено, %			Выход, %
		C	H	N	
Zn	2	<u>49.78</u> 49.32	<u>3.63</u> 3.76	<u>5.31</u> 5.23	86
		<u>45.79</u> 45.34	<u>3.27</u> 3.46	<u>4.92</u> 4.81	
Cd	2	<u>39.11</u> 39.38	<u>2.89</u> 3.01	<u>4.28</u> 4.17	93
		<u>50.27</u> 49.95	<u>3.95</u> 3.80	<u>5.12</u> 5.30	
Hg	2	<u>46.30</u> 45.82	<u>3.28</u> 4.49	<u>4.86</u> 4.86	87
		<u>39.40</u> 39.71	<u>2.95</u> 3.03	<u>4.31</u> 4.21	
Ni	2	<u>51.35</u> 50.79	<u>4.12</u> 3.88	<u>5.21</u> 5.31	79
		<u>48.33</u> 47.91	<u>3.47</u> 3.66	<u>4.99</u> 5.08	
Pd	2	<u>43.60</u> 43.34	<u>3.32</u> 3.31	<u>4.43</u> 4.60	91
Pt	2				72
As	3				90
Sb	3				87
Bi	3				

ЭКСПЕРИМЕНТАЛЬНАЯ ЧАСТЬ

Элементные анализы выполнены с помощью анализатора Analyser CHN (Чехословакия).

2-Метил-8-хинолинселенолаты металлов (6а). В 1 мл 3М соляной кислоты растворяют 0.1 г соединения 7а [26], прибавляют 5 мл этанола, 0.5 мл 50% раствора H₃PO₂ и оставляют на 5 мин. К полученному раствору 2-метил-8-хинолинселенолата прибавляют 2 мл насыщенного раствора ацетата натрия и сразу при перемешивании – раствор соли металла в 2 мл воды: 0.045 г Zn(CH₃COO)₂·2H₂O; 0.055 г Cd(CH₃COO)₂·2H₂O; 0.055 г HgCl₂; 0.05 г NiCl₂·6H₂O; 0.035 г PdCl₂; 0.08 г K₂PtCl₄; 0.013 г As₂O₃; 0.045 г K(SbO)C₄H₄O₆·0.5H₂O; 0.065 г Bi(NO₃)₃·5H₂O. В случае солей Pt реакционную смесь 5 мин нагревают на водяной бане. Полученный осадок 2-метил-8-хинолинселенолатов металлов отфильтровывают, промывают водой, сушат на воздухе и перекристаллизовывают из хлороформа. Выходы и результаты элементного анализа комплексов 6а приведены в табл. 5.

4-Метил-8-хинолинселенолаты металлов (6б) получены из ди(4-метил-8-хинолил)-диселенида 7б [27] по приведенной выше методике. Выходы и результаты элементного анализа комплексов 6б приведены в табл. 6.

2,4-Диметил-8-хинолинселенолаты металлов (6с) получены из ди(2,4-диметил-8-хинолил)диселенида 7с [28] по аналогичной методике. Выходы и результаты элементного анализа комплексов 6с приведены в табл. 7.

Цитотоксичность полученных соединений 6а–с и исходных диселенидов 7 определяли по методике описанной в [25]. Их средняя цитотоксическая концентрация (IC₅₀, мкг/мл) приведена в табл. 1–4. Острая токсичность (LD₅₀, мг/кг) на культуре клеток 3T3 (альтернативная LD₅₀ в teste *in vivo*) определялась согласно протоколам Центра разработки альтернативных методов (NICEATM) Комитета утверждения альтернативных методов (ICCVAM) и Национальной программы по токсикологии (NTP).

СПИСОК ЛИТЕРАТУРЫ

- M. Soriano-Garcia, *Curr. Med. Chem.*, **11**, 1657 (2004).
- C. W. Nogueira, G. Zeni, J. B. T. Rocha, *Chem. Rev.*, **104**, 6255 (2004).
- A. J. Duffield-Lillico, I. Shureiqi, S. M. Lippman, *J. Nat. Cancer Inst.*, **96**, 1645 (2004).
- A. J. Duffield-Lillico, E. H. Slate, M. E. Reid, B. W. Turnbull, P. A. Wilkins, G. F. Combs, Jr., H. K. Park, E. G. Gross, G. F. Graham, M. S. Stratton, J. R. Marshall, L. C. Clark, *J. Nat. Cancer Inst.*, **95**, 1477 (2003).
- J.-B. Lopez-Saez, A. Senra-Varela, L. Pouso-Estevez, *Oncology*, **64**, 227 (2003).
- M. Koketsu, H. Ishihara, *Current Org. Chem.*, **7**, 175 (2003).
- N. Zhou, H. Xiao, T.-K. Li, A. Nur-E-Kamal, L. F. Liu, *J. Biol. Chem.*, **278**, 29532 (2003).
- Y. Dong, H. Zhang, L. Hawthorn, H. E. Ganther, C. Ip, *Cancer Res.*, **63**, 52 (2003).
- M. S. Stratton, M. E. Reid, G. Schwartzberg, F. E. Minter, B. K. Monroe, D. S. Alberts, J. R. Marshall, F. R. Ahmann, *Anti-Cancer Drugs*, **14**, 589 (2003).
- M. S. Stratton, M. E. Reid, G. Schwartzberg, F. E. Minter, B. K. Monroe, D. S. Alberts, J. R. Marshall, F. R. Ahmann, *Anti-Cancer Drugs*, **14**, 595 (2003).
- A. Wojtczak, *Acta Pol. Pharmaceutica*, **60**, 215 (2003).
- S. W. May, *Expert Opinion on Investigational Drugs*, **11**, 1261 (2002).
- A. J. Duffield-Lillico, M. E. Reid, B. W. Turnbull, G. F. Combs, Jr., E. H. Slate, L. A. Fishbach, J. R. Marshall, L. C. Clark, *Cancer Epidemiol., Biomarkers & Prevention*, **11**, 630 (2002).
- M. E. Reid, A. J. Duffield-Lillico, L. Garland, B. W. Turnbull, L. C. Clark, J. R. Marshall, *Cancer Epidemiol., Biomarkers & Prevention*, **11**, 1285 (2002).
- M. A. Nelson, M. Reid, A. J. Duffield-Lillico, J. R. Marshall, *Urol. Clin. North Amer.*, **29**, No. 1, 1 (2002).
- C. Ip, Y. Dong, H. E. Ganther, *Cancer Metastasis Rev.*, **21**, 281 (2002).
- M. P. Rayman, *Lancet*, **356**, 233 (2000).
- E. Lukevics, P. Arsenyan, K. Rubina, I. Shestakova, I. Domracheva, A. Nesterova, J. Popelis, O. Pudova, *Appl. Organomet. Chem.*, **16**, 235 (2000).
- E. Lukevics, P. Arsenyan, I. Shestakova, I. Domracheva, I. Kaneppe, S. Belyakov, J. Popelis, O. Pudova, *Appl. Organomet. Chem.*, **16**, 228 (2000).
- K. El-Bayoumy, *Cancer Res.*, **45**, 3631 (1985).
- T. Tanaka, R. S. Reddy, K. El-Bayoumy, *Jpn. J. Cancer Res.*, **76**, 462 (1985).
- B. S. Reddy, T. Tanaka, B. Simi, *J. Nat. Cancer Inst.*, **75**, 791 (1985).
- B. S. Reddy, P. Upadhyaya, B. Simi, C. V. Rao, *Anticancer Res.*, **14**, 2509 (1994).
- B. S. Reddy, T. T. Wynn, K. El-Bayoumy, P. Upadhyaya, E. Fiala, C. Rao, *Anticancer Res.*, **16**, 1123 (1996).
- Я. Ашакс, Ю. Банковский, Д. Зарума, И. Шестакова, И. Домрачева, А. Нестерова, Э. Лукевиц, *ХГС*, 905 (2004).
- Ю. А. Банковский, Я. В. Ашакс, Д. Э. Зарума, *Латв. хим. журн.*, 371 (2002).
- Я. В. Ашакс, Ю. А. Банковский, Д. Э. Зарума, *Латв. хим. журн.*, 201 (2003).
- Я. В. Ашакс, Ю. А. Банковский, Д. Э. Зарума, *Латв. хим. журн.*, 311 (2001).

*Латвийский институт органического
синтеза, Рига LV-1006, Латвия
e-mail: sinta@osi.lv*

Поступило в редакцию 01.03.2005

^a*Институт неорганической химии РТУ,
Саласпилс LV-2169, Латвия
e-mail: nki@nki.lv*